



## 摘要

本用户指南介绍了 TPS7H1111EVM-CVAL 评估模块 (EVM) 的操作使用方法，该 EVM 可用作 TPS7H1111-SP 的工程演示和评估的参考设计，TPS7H1111-SP 是一款 1.5A 超低噪声、高 PSRR 并且耐辐射的射频低压降 (LDO) 稳压器。本用户指南提供了关于 EVM、其配置、原理图和物料清单 (BOM) 的详细信息。

## 内容

<b>1 简介</b>	2
1.1 相关信息	3
1.2 特性	3
1.3 应用	3
<b>2 设置</b>	4
2.1 输入/输出连接器和跳线说明	4
2.2 设备设置	6
<b>3 操作</b>	6
<b>4 可调节运行</b>	7
<b>5 测试结果</b>	8
5.1 使能和软启动计时	8
5.2 PSRR	9
5.3 稳定性	10
5.4 噪声频谱密度	11
<b>6 电路板布局</b>	12
<b>7 原理图</b>	16
<b>8 物料清单</b>	17

## 插图清单

图 1-1. TPS7H1111EVM-CVAL (LP052B)	2
图 4-1. 配置输出电压的简化示意图	7
图 5-1. TPS7H1111 使能和软启动计时	8
图 5-2. TPS7H1111EVM-CVAL PSRR 与 $I_{OUT}$	9
图 5-3. TPS7H1111EVM-CVAL 增益和相位与频率间的关系 (波特图)	10
图 5-4. 输出电流范围内的输出噪声与频率的关系 (噪声频谱密度)	11
图 6-1. 顶部覆盖丝印	12
图 6-2. 顶部阻焊层	12
图 6-3. 顶端信号层	13
图 6-4. 信号 1 层	13
图 6-5. 信号 2 层	14
图 6-6. 底部信号层	14
图 6-7. 底部焊料层	15
图 7-1. TPS7H1111EVM-CVAL (LP052B) 原理图	16

## 表格清单

表 2-1. 跳线	4
表 2-2. 测试点	5
表 8-1. 物料清单	17

## 商标

所有商标均为其各自所有者的财产。

## 1 简介

TPS7H1111-SP 是一款超低噪声、高 PSRR、低压降线性稳压器 (LDO)，针对为航天环境中的 RF (射频) 器件供电进行了优化。它能够在 0.85V 至 7V 输入范围内提供高达 1.5A 的电流，并由 2.2V 至 14V 的辅助电源供电。

该 EVM 配置有一个默认输出电阻器，该电阻器可调节至 1.8V  $V_{OUT}$ ，可用  $V_{IN}$  范围为 (1.8V +  $V_{DO}$ ) 至 7V， $V_{BIAS}$  范围为 ( $V_{OUT} + 1.6V$  至 14V)。在推荐的工作条件下，最坏情况下  $V_{DO}$  的范围为 430mV ( $V_{BIAS} \geq (V_{OUT} + 1.6V)$ ) 至 1.4V， $V_{BIAS} = V_{IN}$ 。此 EVM 旨在帮助工程师评估 TPS7H1111-SP 线性稳压器的运行情况和性能。TPS7H1111-SP 低压降稳压器支持 0.85V 至 7V 的输入电压，并且能够通过更改  $V_{OUT}$  电流设置电阻器 R8 来调节 0.4V 至最高 5.5V 之间的任何输出电压。此 EVM 能够为负载提供最高 1.5A 的电流。实现最大负载取决于多个变量，包括输入输出功耗、电路板散热和散热。



图 1-1. TPS7H1111EVM-CVAL (LP052B)

## 1.1 相关信息

- TPS7H1111-SP 数据表 ([SLVSFT8](#))

## 1.2 特性

### • 辐射性能

- 耐辐射加固保障 (RHA) 高达 100krad(Si) 总电离剂量 (TID)
- 单粒子锁定 (SEL)、单粒子烧毁 (SEB) 和单粒子栅穿 (SEGR) 对于线性能量传递 (LET) 的抗扰度 = 75MeV-cm<sup>2</sup>/mg
- 单粒子功能中断 (SEFI) 和单粒子瞬变 (SET) 对于 LET 的额定值 = 75MeV-cm<sup>2</sup>/mg

超低噪声：1.71 μV<sub>RMS</sub> (典型值) 10Hz - 100kHz

### • 高电源抑制比，PSRR (典型值)：

- 100 Hz 时为 109dB
- 100 kHz 时为 71dB
- 在 1MHz 时为 66dB

### • 输入电压范围：0.85 V 至 7 V

### • 2.2V 至 14V 的辅助电源，可更大限度降低功率耗散

### • 输出电压低至 0.4 V

### • 高达 1.5A 输出电流

### • 在线路和负载范围内出色的输出精度：

- 整个温度范围内 +1.1%/-1.3%
- 25°C 时为 +0.9%/-0.7%

### • 低压降：1.5A 时为 215mV (典型值)

### • 可编程软启动控制 (SS\_SET)

### • 开漏电源正常状态 (PG) 指示器

### • 可配置电源正常阈值 (FB\_PG)

### • 带有外部补偿 STAB 引脚的外露控制环路

### • 具有可配置行为的内部电流限制

### • 能够共享电流以实现更高的电流

## 1.3 应用

### • 卫星电力系统 (EPS)

### • 适用于高速和高精度模拟电路的电源

- 数据转换器：ADC 和 DAC (模数转换器和数模转换器)
- VCO (压控振荡器)
- PLL (锁相环)
- SerDes (串行器和解串器)
- 图像传感器

### • 为 FPGA (现场可编程门阵列) 和 DSP (数字信号处理器) 提供精确电源

### • 用于空间受限区域的耐辐射超洁净模拟电源

## 2 设置

本节介绍该 EVM 上的跳线和连接器，以及如何正确连接、设置和使用 TPS7H1111EVM-CVAL。

### 2.1 输入/输出连接器和跳线说明

#### 2.1.1 跳线

表 2-1 中包含跳线列表及其功能说明。

**表 2-1. 跳线**

原理图参考	说明
J1	$V_{IN}$ 输入电源香蕉插头。0.85 至 7 V.
J2	$V_{OUT}$ 输出稳压电源香蕉插头。按配置 $V_{OUT} = 1.8V$ 。
J3	$V_{IN}$ 香蕉插孔的 GND。
J4	$V_{COUT}$ 输出稳压电源 SMA。
J5	$V_{OUT}$ 输出稳压电源 SMA。
J6	$V_{OUT}$ 输出稳压电源冷端探头连接器。
J7	$V_{BIAS}$ 偏置输入电源香蕉插孔。2.2 至 14 V.
J8	$V_{BIAS}$ 偏置输入电源 SMA。
J9	$V_{OUT}$ 香蕉插孔的 GND。
J10	$V_{IN}$ 香蕉插孔的 GND。
J11	$V_{BIAS}$ 香蕉插孔的 GND。
J12	三引脚电流限制模式跳线选择器。选择“恒流”或“关断”限流模式。
J13	三引脚启用/禁用跳线选择器。将 EN 信号拉至 $V_{IN}$ “启用”或 GND “禁用”。任何跳线都不会基于 $V_{IN}$ R2/R7 分压器达到 600mV 使能阈值而使能 LDO。

## 2.1.2 测试点

表 2-2 中包含测试点列表及其功能说明。

**表 2-2. 测试点**

原理图参考	说明
TP1	$V_{OUT}$ 测试点。此测试点在 $0\Omega R1$ 之前，直接连接到 LDO 的 OUT 引脚。
TP2、TP3	$V_{COUT}$ 测试点。这些测试点在 $0\Omega R1$ 之后。它们位于 $COUT$ 平面上。TP2 与 TP8 一起用于 Bode 信号注入。
TP4	$V_{OUT}$ 测试点。此测试点位于输出路径中的 L1 ( 填充 $0\Omega$ ) 之后。此测试点位于反馈回路之外。
TP5	$V_{IN}$ 测试点。
TP6	PG 电源正常测试点。
TP7	EN 启用测试点。
TP8	反馈 OUTS 测试点。与 TP2 一起用于 Bode 信号注入。
TP9	SS_SET 测试点。此节点定义 $V_{OUT}$ 调节和软启动。
TP10	偏置测试点，位于由 R6 和 C14 定义的偏置滤波器的器件侧。
TP11	GND 测试点。
TP12	偏置测试点，位于由 R6 和 C14 定义的偏置滤波器的源极侧。
TP13	FB_PG 测试点。
TP14、TP15	GND 测试点。

## 2.2 设备设置

以下过程可指导 TPS7H1111EVM-CVAL 的设置和测试。

此测试需要用到以下设备：

1. 电源 PS1 能够提供高达 7V 和 1.5A 的电源，以提供  $V_{IN}$ 。
  - 如果测试电流限制功能，PS1 应该能够承受 3A。
2. 电源 PS2 最高可承受 14V 和 100mA。
3. 负载或电阻负载可承受大于 1.5A 的电流（或所需的测试负载）。
4. 用于监测  $V_{OUT}$  的电压表和/或示波器。

以下过程介绍了连接、电源和负载设置：

1. 禁用 PS1 时，设置 2.5V 和 1.5A 电流限制。
2. 用香蕉电缆将 PS1 正极电源连接至  $V_{IN}$  + 跳线 J1。
3. 用香蕉电缆将 PS1 负极电源连接到  $V_{IN}$  接地跳线 J10。
  - 或者，可与 SMA J3 一起提供  $V_{IN}$ 。观察 SMA 电缆的额定电流。
4. 禁用 PS2 时，设置 5V 和 100mA 电流限制。
5. 用香蕉电缆将 PS2 正极电源连接至  $V_{BIAS}$  + 跳线 J7。
6. 用香蕉电缆将 PS2 负极电源连接到  $V_{BIAS}$  接地跳线 J11。
  - 或者，也可以与 SMA J8 一起提供  $V_{BIAS}$ 。
7. 如果需要监控  $V_{OUT}$ ，将示波器连接到 SMA 插孔 J5。
  - 或者，可以将冷端连接器 J6 或 TP4 用于监测  $V_{OUT}$ 。
8. 如果需要，使用 TP4、J6、J5 或 J2 将电压表连接到  $V_{OUT}$ 。
9. 在  $V_{OUT}$  连接器 J2 和连接器 J9 处的 GND 之间连接所需 ( $\leq 1.5A$ ) 负载。

### 备注

当在较高的  $I_{LOAD}$  电流下运行时，较大的  $V_{IN} - V_{OUT}$  差会导致内部功耗过大。内部耗功可通过  $V_{IN} - V_{OUT} \times I_{LOAD}$  进行估算。请参阅 [SLVSFT8](#)，以了解有关功率计算的更多信息。

## 3 操作

1. 将跳线 J13 设置为启用位置。
  - J13 也可以保持开路，因为电阻分压器与  $V_{IN}$  一起用于向上拉动使能引脚。使能阈值约为 600mV。可以更改电阻分压器 R2/R7，以实现  $V_{IN}$  的不同导通电压。默认情况下，当默认 EVM 的  $V_{IN} >$  约 1.8V 时，器件将启用。还可以通过 J13 从主机对器件进行数字控制。
2. 启用 PS1 和 PS2。顺序不重要。
3.  $V_{OUT}$  现在读数应为约 1.8V。
  - 当施加负载时，负载下的  $V_{OUT}$  可能低于 1.8V。用于反馈调节的 OUTS 连接位于靠近 U1 的  $C_{OUT}$  平面上。
4. PG 输出 (TP6) 现在也应上拉至  $V_{OUT}$ ，读数为 1.8V。
5. 根据需要改变负载以进行测试。

## 4 可调节运行

TPS7H1111-SP 的标称输出电压是使用等式  $V_{SS\_SET} = V_{OUT} = I_{SET} \times R_{SET}$  配置的。因此， $R_{SET} = V_{SS\_SET} / I_{SET} = 1.8V / 100 \mu A = 18k\Omega$ 。 $I_{SET}$  由  $R_{REF}$  决定，并使用精密  $12k\Omega$  电阻器设计为  $100\mu A$ 。请参阅图 4-1 以查看方框图。请参阅图 7-1，以了解  $R_{SET}$  (R8) 和  $R_{REF}$  (R9) 的连接情况。请参阅 [SLVSFT8](#)，以了解更多详细信息。

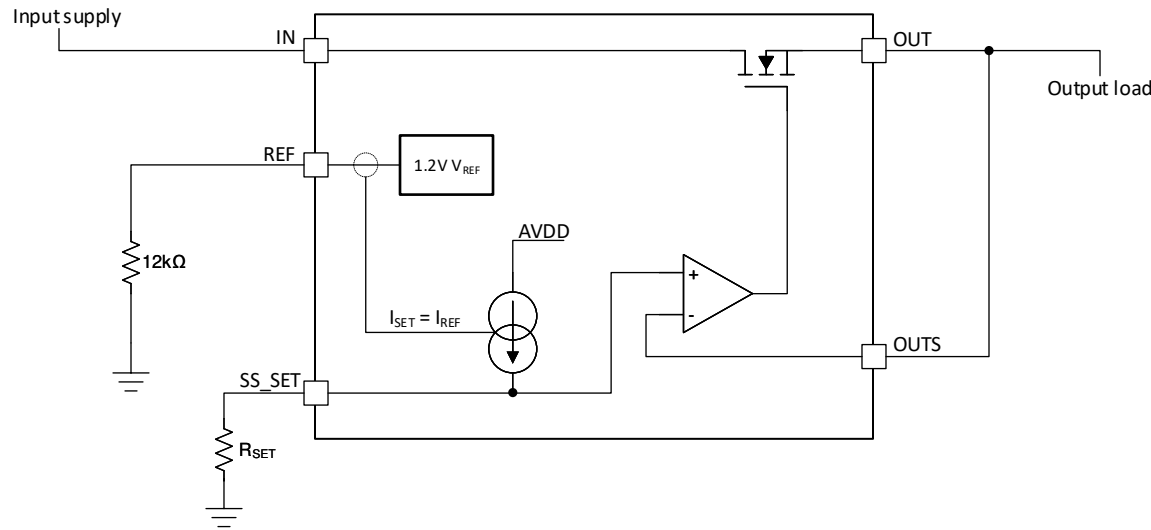


图 4-1. 配置输出电压的简化示意图

还需要注意的是，TPS7H1111-SP 使用可调电源正常 PG 输出阈值 FB\_PG。更改输出电压时，需要在 FB\_PG 引脚上设置合适的分压器，以便 LDO 在达到适当的阈值时断言 PG。此外，当 PG 被断言时，这将关闭作为软启动一部分的内部快速充电电路。因此，设置适当的分压器对于正确启动至关重要。请参阅 [SLVSFT8](#)，以了解更多详细信息。

## 5 测试结果

本节提供 TPS7H1111EVM-CVAL 在稳定性、噪声频谱密度 (NSD) 和 PSRR 方面的典型性能波形。所有性能数据显示均采用 EVM 的标准配置。标准配置基于以下条件： $V_{IN} = 2.5V$ ， $V_{BIAS} = 5V$  和  $V_{OUT} = 1.8V$

### 备注

TPS7H1111-SP LDO 的数据表中包含各种不同输入和输出条件下的各种其他性能数据。请参阅  
[SLVSFT8](#)

### 5.1 使能和软启动计时

图 5-1 显示了使能和软启动特性，其中  $V_{IN}$  为  $2.5V$ ， $V_{BIAS}$  为  $5V$ ，EN 从接地切换至约  $800mV$ ，而输出驱动约  $1.5A$  电阻负载。显示 EN、 $V_{OUT}$ 、SS\_SET 和 IOUT 的波形以供参考。 $4.7\mu F$  的  $C_{SS}$  导致软启动时间约为  $3.7ms$ 。

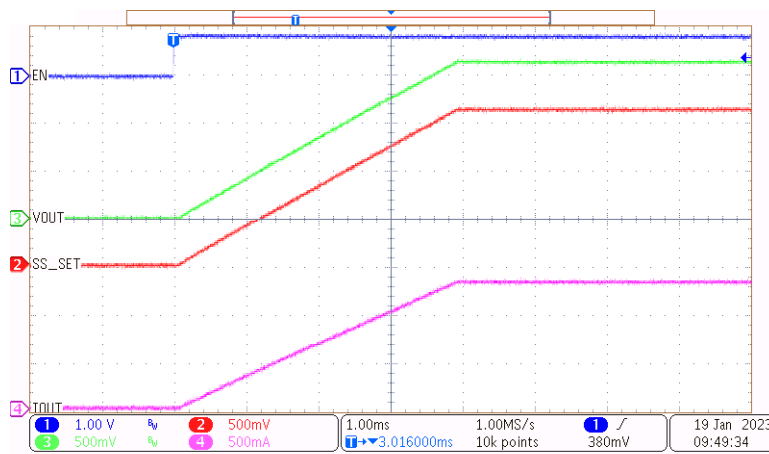


图 5-1. TPS7H1111 使能和软启动计时

## 5.2 PSRR

图 5-2 显示了 TPS7H1111EVM-CVAL 在以下条件下，在各种  $I_{OUT}$  负载下的典型 PSRR 性能： $V_{IN} = 2.5V$ ， $V_{BIAS} = 5V$ ， $V_{OUT} = 1.8V$ ， $C_{IN}$  已移除。

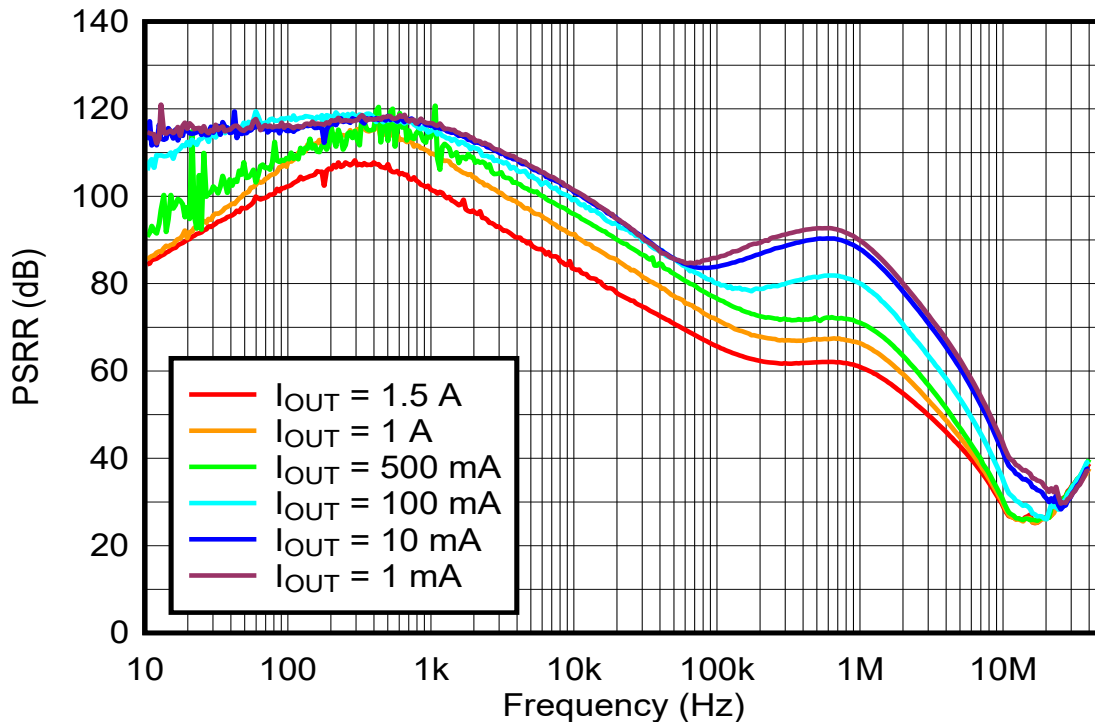


图 5-2. TPS7H1111EVM-CVAL PSRR 与  $I_{OUT}$

在器件上测量超高 PSRR 可能具有挑战性。为了获得足够的结果，LDO 的输出被馈送至具有大约 50dB 增益的宽带放大器。放大输出可有效降低测量仪器的本底噪声。获得结果后，将以 dB 为单位的放大器增益曲线添加到整个频率范围的结果中。

$V_{IN}$  上的注入信号在  $50\Omega$  负载中为  $-10\text{dBm}$ 。这会产生  $200\text{mV}$  的峰间信号。此外，从  $100\text{kHz}$  开始使用少量可变的注入信号衰减，以更大限度地减少较高频率下的信号失真。使用的最终注入信号功率为  $-17\text{dBm}$ ，频率约为  $2\text{MHz}$ 。

### 5.3 稳定性

图 5-3 显示了最小空载和最大负载 1.5A 下的典型波特增益和相位图与频率间的关系。TPS7H1111EVM-CVAL 在以下条件下运行时进行的稳定性测试： $V_{IN} = 2.5V$ ， $V_{BIAS} = 5V$ ， $V_{OUT} = 1.8V$ 。

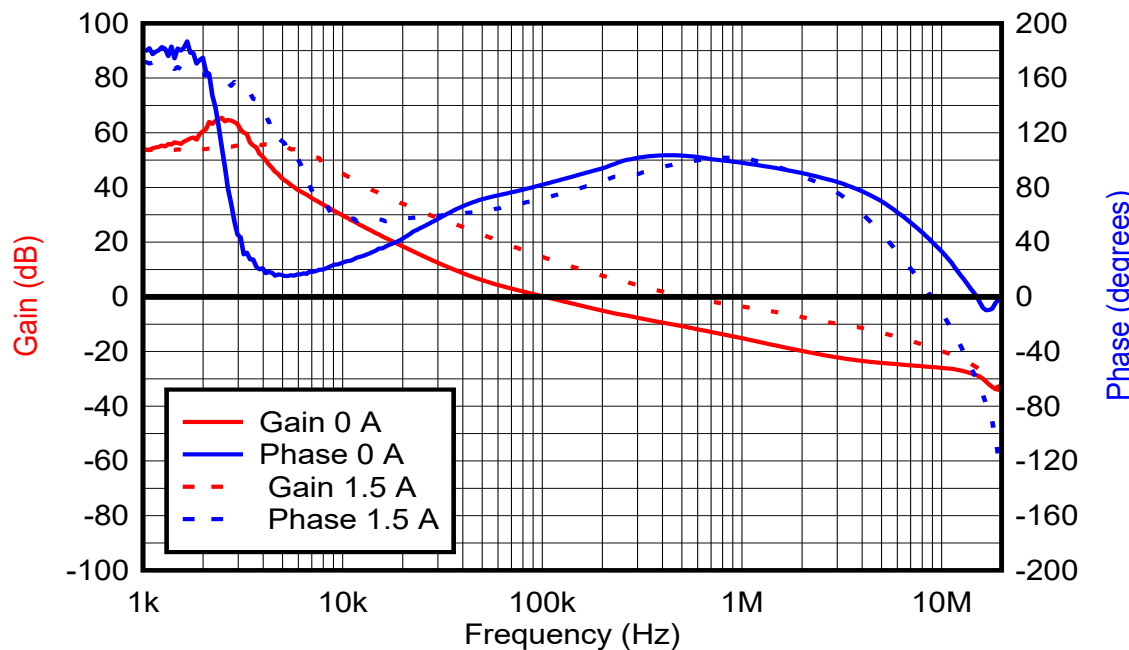


图 5-3. TPS7H1111EVM-CVAL 增益和相位与频率间的关系 ( 波特图 )

使用高带宽高增益 LDO 测量精确的波特响应需要使用非常小的注入信号。注入的信号使用注入电平的形状，注入的信号参考电平为 -7dBm。频率从 10kHz 增至 200kHz 时，该参考电平降至 -27dBm。此外，整个注入信号通过内联衰减器从外部衰减 26dB。这是为了防止将信号过驱到反馈回路中，并将响应保持在小信号行为范围内。

## 5.4 噪声频谱密度

图 5-4 显示了 TPS7H1111EVM-CVAL 在以下条件下运行时的典型噪声谱密度 (NSD) 性能： $V_{IN} = 2.5V$ ， $V_{BIAS} = 5V$ ， $V_{OUT} = 1.8V$ 。此图还显示了各种输出负载的集成 10Hz 至 100kHz RMS 噪声。

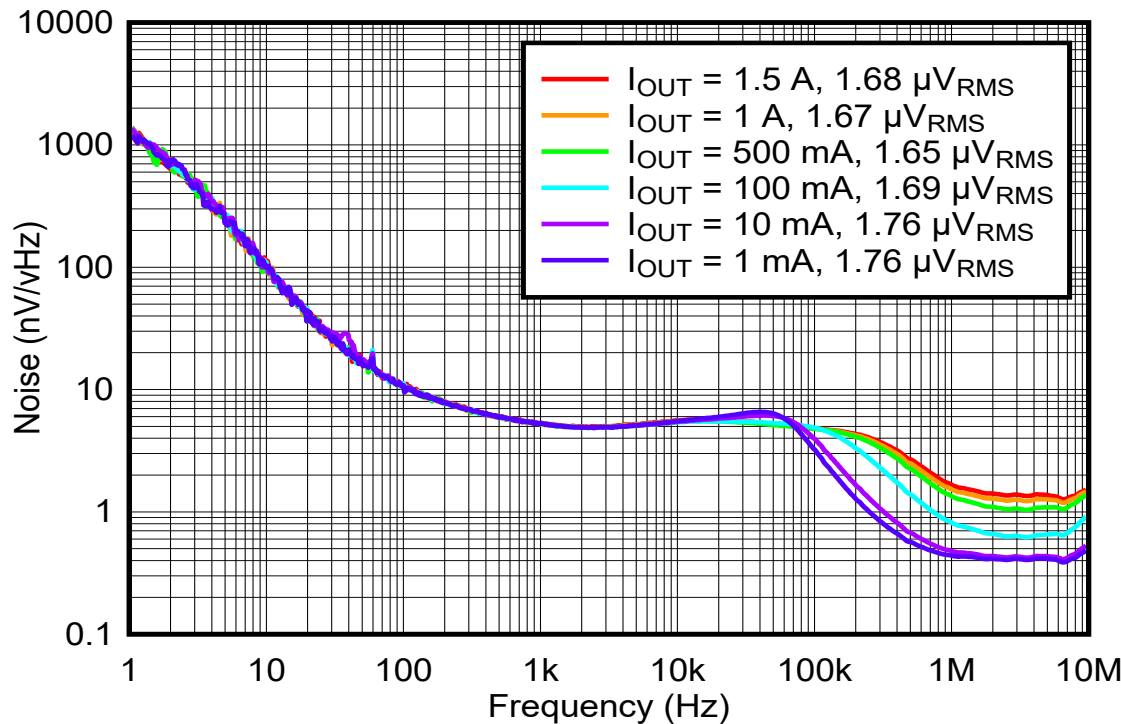


图 5-4. 输出电流范围内的输出噪声与频率的关系 (噪声频谱密度)

## 6 电路板布局

下图表示电路板设计层。

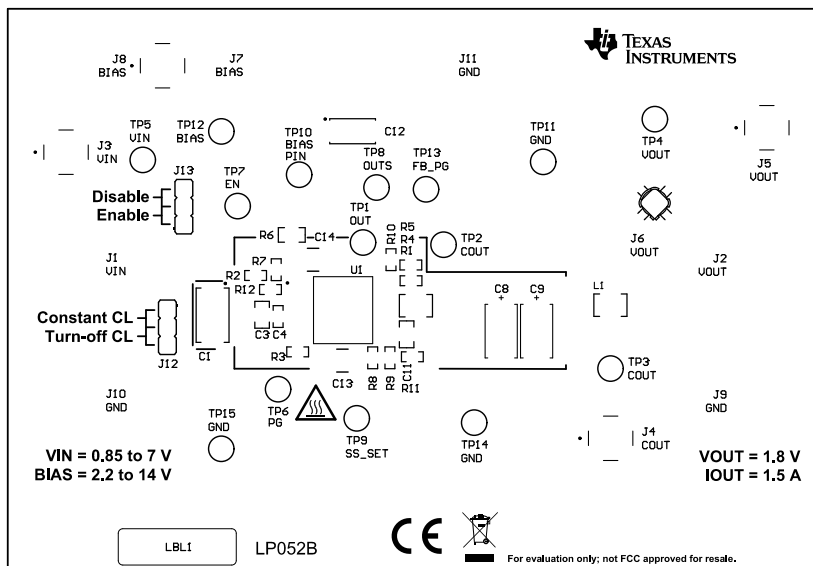
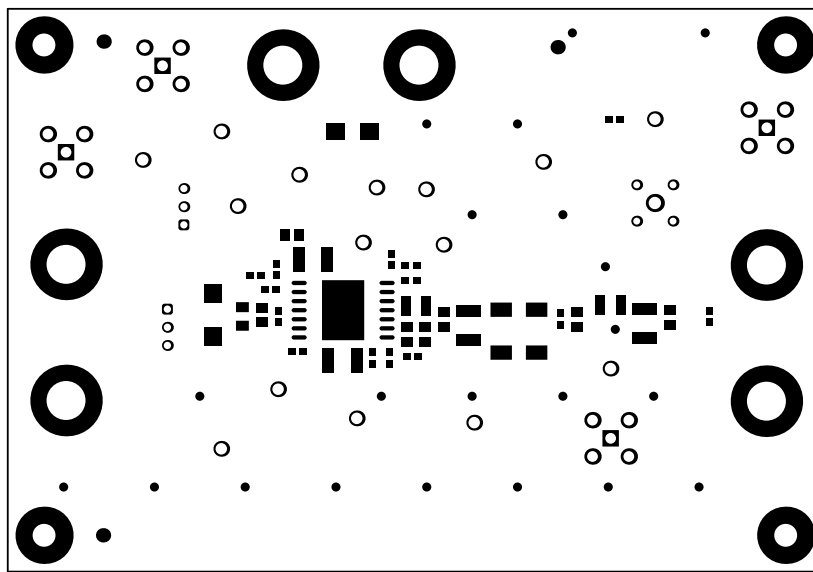
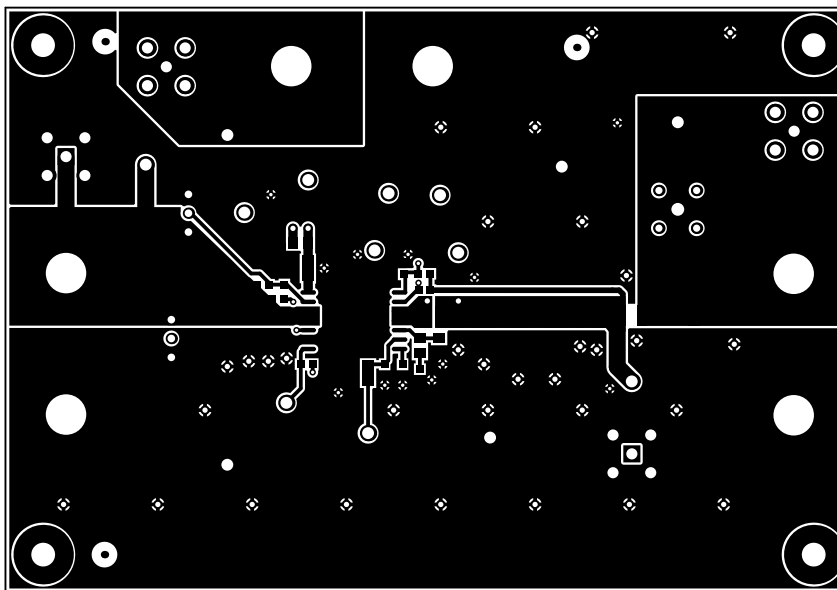


图 6-1. 顶部覆盖丝印



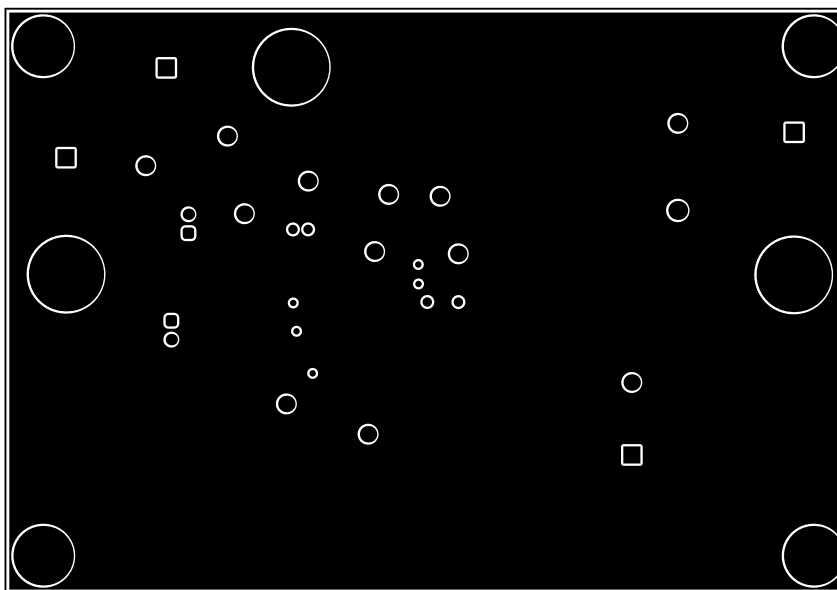
ALL ARTWORK VIEWED FROM TOP SIDE	BOARD #: LP052	REV: B	SUN REV: Not in version control
LAYER NAME = Top Solder	TID #: N/A		
PLOT NAME = Top Solder Mask	GENERATED : 8/24/2022 12:55:15 PM		TEXAS INSTRUMENTS

图 6-2. 顶部阻焊层



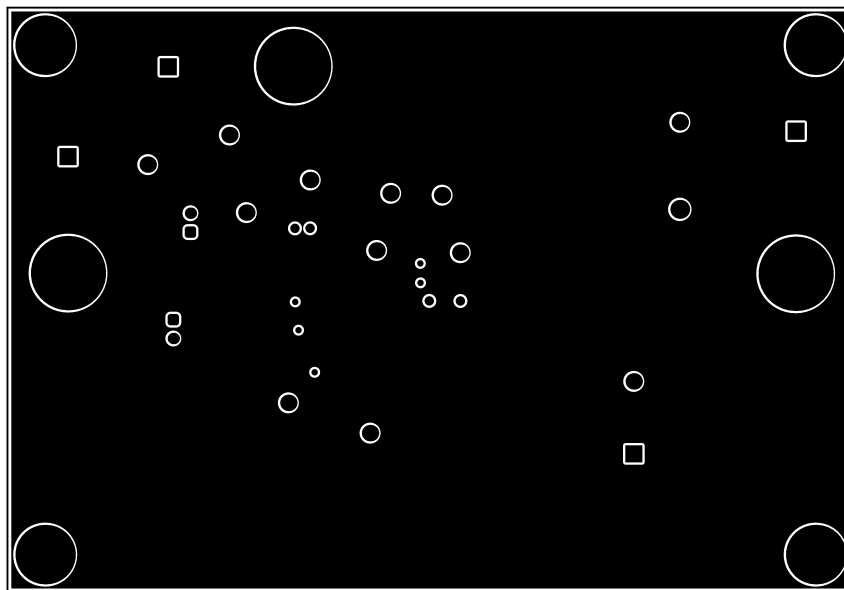
ALL ARTWORK VIEWED FROM TOP SIDE	BOARD #: LP052	REV: B	SUN REV: Not in version control
LAYER NAME = Top Layer	TID #: N/A		
PLOT NAME = Top Layer	GENERATED : 8/24/2022 12:55:16 PM		TEXAS INSTRUMENTS

图 6-3. 顶端信号层



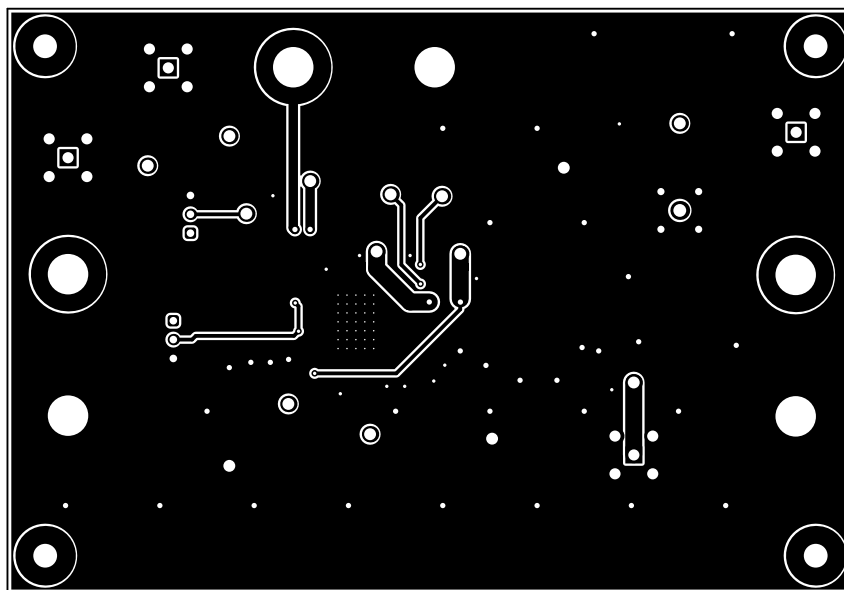
ALL ARTWORK VIEWED FROM TOP SIDE	BOARD #: LP052	REV: B	SUN REV: Not in version control
LAYER NAME =	TID #: N/A		
PLOT NAME = Signal 1	GENERATED : 8/24/2022 12:55:16 PM		TEXAS INSTRUMENTS

图 6-4. 信号 1 层



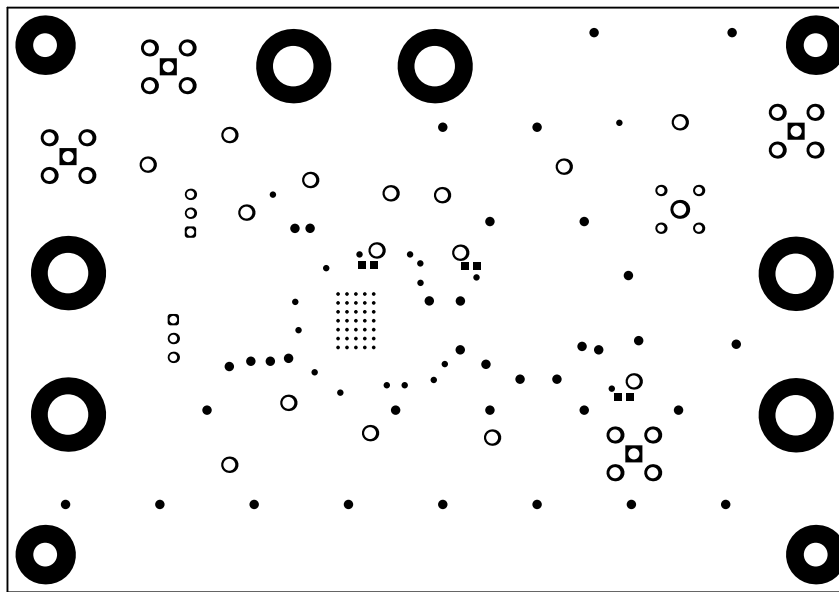
ALL ARTWORK VIEWED FROM TOP SIDE	BOARD #: LP052	REV: B	SUN REV: Not in version control
LAYER NAME =	TID #: N/A		
PLOT NAME = Signal 2	GENERATED : 8/24/2022 12:55:16 PM		TEXAS INSTRUMENTS

图 6-5. 信号 2 层



ALL ARTWORK VIEWED FROM TOP SIDE	BOARD #: LP052	REV: B	SUN REV: Not in version control
LAYER NAME = Bottom Layer	TID #: N/A		
PLOT NAME = Bottom Layer	GENERATED : 8/24/2022 12:55:17 PM		TEXAS INSTRUMENTS

图 6-6. 底部信号层



ALL ARTWORK VIEWED FROM TOP SIDE	BOARD #: LP052	REV: B	SUN REV: Not in version control
LAYER NAME = Bottom Solder	TID #: N/A		
PLOT NAME = Bottom Solder Mask	GENERATED : 8/24/2022 12:55:17 PM		TEXAS INSTRUMENTS

图 6-7. 底部焊料层

## 7 原理图

### TPS7H1111-SP EVM - Schematic

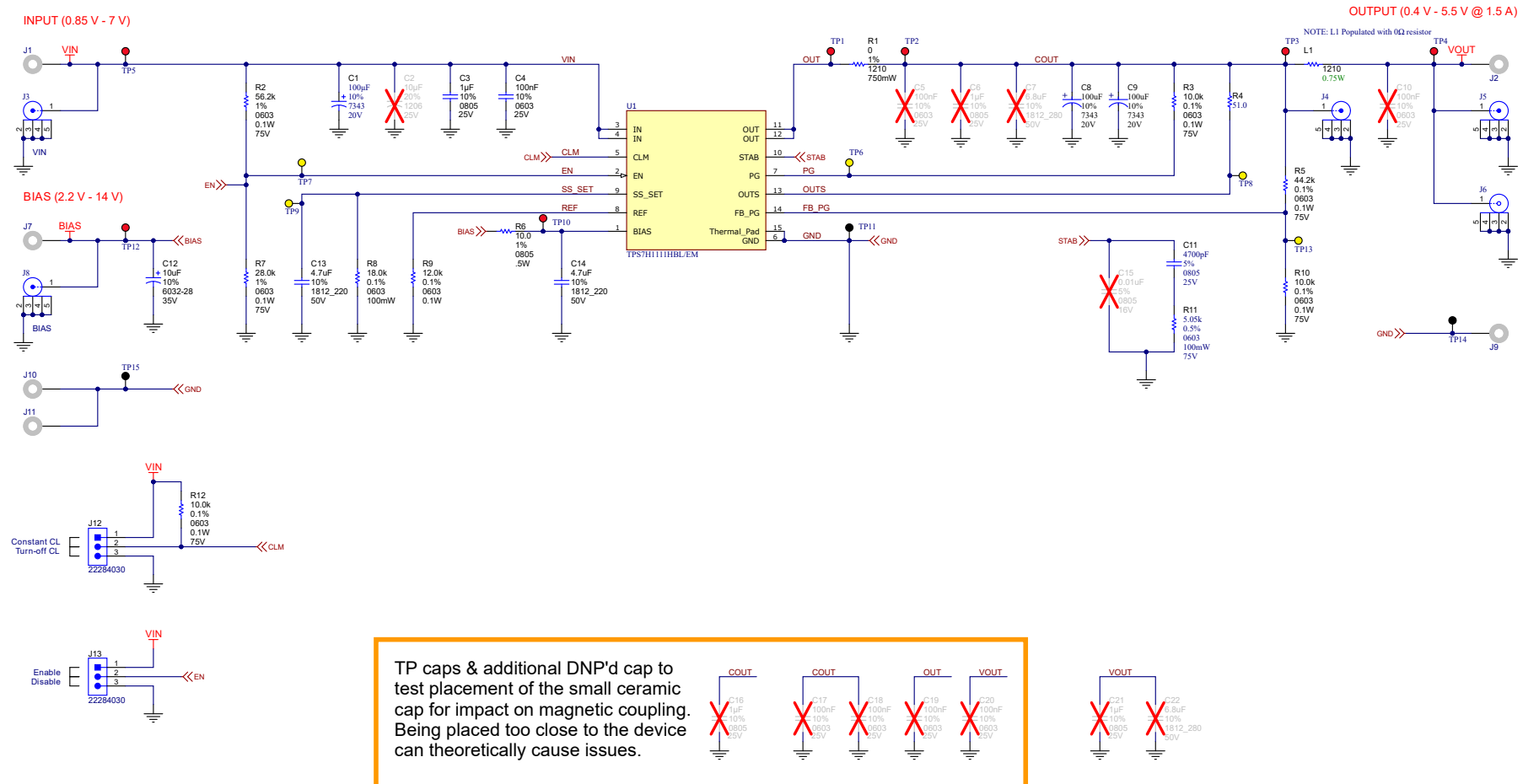


图 7-1. TPS7H1111EVM-CVAL (LP052B) 原理图

## 8 物料清单

**表 8-1. 物料清单**

标识符	数量	描述	器件型号	制造商
C1	1	电容器 , 钽 , 100 $\mu$ F , 20V , $\pm 10\%$ , 0.4 $\Omega$ , AEC-Q200 1 级 , SMD , 7343-43	TAJE107K020TNJV	AVX
C3	1	电容器 , 陶瓷 , 1 $\mu$ F , 25V , $\pm 10\%$ , X7R , 0805	TMK212B7105KG-T	Taiyo Yuden
C4	1	电容器 , 陶瓷 , 0.1 $\mu$ F , 25V , $\pm 10\%$ , X7R , 0603	8.85012E+11	Wurth Elektronik
C8、C9	2	电容器 , 固体钽 , 100 $\mu$ F , 20V , E CASE , 10% , (7.3mm x 4.3mm x 4.1mm) , SMD , 7343-43 , 0.035 $\Omega$ , 125°C , 大容量 , 2917	TBME107K020LBLC9945	KYOCERA AVX , (备选 TRME107K020R0035 )
C11	1	电容器 , 陶瓷 , 4700pF , 25V , $\pm 5\%$ , C0G/NP0 , 0805	08053A472JAT2A	AVX
C12	1	电容器 , 钽 , 10 $\mu$ F , 35V , $\pm 10\%$ , 1.6 $\Omega$ , SMD , 6032-28	293D106X9035C2TE3	Vishay-Sprague
C13、C14	2	电容器 , 陶瓷 , 4.7 $\mu$ F , 50V , $\pm 10\%$ , X7R , AEC-Q200 1 级 ,	CGA8M3X7R1H475K200KB	TDK
J1、J2、 J7、J9、 J10、J11	6	标准香蕉插孔 , 非绝缘 , 5.5mm	575-4	Keystone
J3、J4、 J5、J8	4	SMA 连接器插座 , 母插座 , 50 $\Omega$ , 通孔焊接 , PTH_RF_CONN	733910060	Molex
J6	1	小型探头尖端电路板测试点 , TH , 25% , TH 示波器探头	131-5031-00	Tektronix
J12、J13	2	接头 , 2.54mm , 3x1 , 锡 , TH	22284030	Molex
L1、R1	2	电阻器 , 0 $\Omega$ , 1% , 0.75W , AEC-Q200 0 级 , 1210	CRCW12100000Z0EAHP	Vishay-Dale
R2	1	电阻器 , 56.2k $\Omega$ , 1% , 0.1W , 0603	RC0603FR-0756K2L	Yageo
R3、R10、 R12	3	电阻器 , 10.0k $\Omega$ , 0.1% , 0.1W , 0603	RT0603BRD0710KL	Yageo America
R4	1	电阻 , 51.0 $\Omega$ , 1% , 0.1W , 0603	RC0603FR-0751RL	Yageo
R5	1	电阻器 , 44.2k $\Omega$ , 0.1% , 0.1W , 0603	RT0603BRD0744K2L	Yageo America
R6	1	电阻器 , 10.0 $\Omega$ , 1% , 0.5W , AEC-Q200 0 级 , 0805	ERJ-P6WF10R0V	Panasonic
R7	1	电阻器 , 28.0k $\Omega$ , 1% , 0.1W , 0603	RC0603FR-0728KL	Yageo
R8	1	电阻器 , 18.0k $\Omega$ , 0.1% , 0.1W , 0603	RT0603BRD0718KL	Yageo America
R9	1	电阻器 , 12.0k $\Omega$ , 0.1% , 0.1W , 0603	RT0603BRD0712KL	Yageo America
R11	1	电阻器 , 5.05k $\Omega$ , 0.5% , 0.1W , 0603	RT0603DRE075K05L	Yageo America
TP1、TP2、 TP3、TP4、 TP5、 TP10、 TP12	7	测试点 , 通用 , 红色 , TH	5010	Keystone Electronics
TP6、TP7、 TP8、TP9、 TP13	5	测试点 , 通用 , 黄色 , TH	5014	Keystone Electronics
TP11、 TP14、 TP15	3	测试点 , 通用 , 黑色 , TH	5011	Keystone Electronics
U1	1	1.5A , 超低噪声 , 高 PSRR , RHA 、射频 LDO CFP14	TPS7H1111HBL/EM	德州仪器 (TI)
C2	0	电容器 , 钽聚合物 , 10 $\mu$ F , 25V , $\pm 20\%$ , 0.15 $\Omega$ , 3216-18 SMD	TCJA106M025R0150	AVX
C5、C10、 C17、C18、 C19、C20	0	电容器 , 陶瓷 , 0.1 $\mu$ F , 25V , $\pm 10\%$ , X7R , 0603	C1608X7R1E104K080AA	TDK
C6、C16、 C21	0	电容器 , 陶瓷 , 1 $\mu$ F , 25V , $\pm 10\%$ , X7R , 0805	TMK212B7105KG-T	Taiyo Yuden

**表 8-1. 物料清单 (continued)**

标识符	数量	描述	器件型号	制造商
C7、C22	0	电容器 , 陶瓷 , 6.8μF , 50V , ±10% , X7R , AEC-Q200 1 级 ,	CGA8P3X7R1H685K250KB	TDK
C15	0	电容器 , 陶瓷 , 0.01 μ F , 16V , ±5% , C0G/NP0 , 0805	B37947K9103J62	TDK

## 重要声明和免责声明

TI“按原样”提供技术和可靠性数据（包括数据表）、设计资源（包括参考设计）、应用或其他设计建议、网络工具、安全信息和其他资源，不保证没有瑕疵且不做出任何明示或暗示的担保，包括但不限于对适销性、某特定用途方面的适用性或不侵犯任何第三方知识产权的暗示担保。

这些资源可供使用 TI 产品进行设计的熟练开发人员使用。您将自行承担以下全部责任：(1) 针对您的应用选择合适的 TI 产品，(2) 设计、验证并测试您的应用，(3) 确保您的应用满足相应标准以及任何其他功能安全、信息安全、监管或其他要求。

这些资源如有变更，恕不另行通知。TI 授权您仅可将这些资源用于研发本资源所述的 TI 产品的应用。严禁对这些资源进行其他复制或展示。您无权使用任何其他 TI 知识产权或任何第三方知识产权。您应全额赔偿因在这些资源的使用中对 TI 及其代表造成的任何索赔、损害、成本、损失和债务，TI 对此概不负责。

TI 提供的产品受 [TI 的销售条款](#) 或 [ti.com](#) 上其他适用条款/TI 产品随附的其他适用条款的约束。TI 提供这些资源并不会扩展或以其他方式更改 TI 针对 TI 产品发布的适用的担保或担保免责声明。

TI 反对并拒绝您可能提出的任何其他或不同的条款。

邮寄地址 : Texas Instruments, Post Office Box 655303, Dallas, Texas 75265

Copyright © 2023, 德州仪器 (TI) 公司